绝密★启用前

2025年普通高等学校全国统一模拟招生考试

4月联考

地　理

全卷满分100分，考试时间75分钟。

注意事项：

1. 答题前，先将自己的姓名、准考证号填写在试卷和答题卡上，并将条形码粘贴在答题卡上的指定位置。
2. 请按题号顺序在答题卡上各题目的答题区域内作答，写在试卷、草稿纸和答题卡上的非答题区域均无效。
3. 选择题用2B铅笔在答题卡上把所选答案的标号涂黑；非选择题用黑色签字笔在答题卡上作答；字体工整，笔迹清楚。
4. 考试结束后，请将试卷和答题卡一并上交。

一、选择题：本大题共16小题，每小题3分，共48分。在每小题给出的四个选项中，只有一个选项是符合题目要求的。

印度正处于快速城市化阶段，并面临严峻的城市扩张挑战。某团队根据景观扩张指数(LEI)将印度不同城市扩张类型分为飞地式、边缘式和填充式三种类型。定义$LEI=\frac{L}{P}$，其中L为新增城市用地斑块与现有城市用地的共同边界长度，P为新增城市用地斑块的周长。据此完成1～3题。

1. 印度城市扩张速度快，主要因为

①国家人口总量大　②二、三产业增长快　③公共服务水平高　④土地广阔地价低

A. ①②　　B. ①④　　C. ②③　　D. ③④

2. LEI=0、0<LEI≤0.5、0.5<LEI≤1三个区间对应的城市扩张类型分别是

A. 边缘式、填充式、飞地式

B. 填充式、飞地式、边缘式

C. 飞地式、边缘式、填充式

D. 飞地式、填充式、边缘式

扫描全能王
3亿人都在用的扫描App

3. 与中小城市相比，印度大城市 LEI 指数偏高，主要因为大城市

A. 环境污染严重　　B. 内部空间饱和

C. 基础设施完善　　D. 面积基数较大

2022 年郑渝高铁的开通结束了神农架林区（县级）不通高铁的历史。高铁开通 2 年来，兴山站成为游客进出神农架景区的首选高铁站，远超过隶属于神农架林区的神农架站，游客多通过兴山站前往神农架的旅游接待中心木鱼镇。下图示意神农架景区周边交通。读图，完成 4～5 题。



4. 兴山站成为游客进出神农架景区的首选高铁站，主要取决于

A. 地理位置　　B. 旅游资源

C. 城市等级　　D. 运行时速

5. 最有可能提高神农架站对进出景区游客分担率的是

A. 加密神农架站到木鱼镇接驳公交

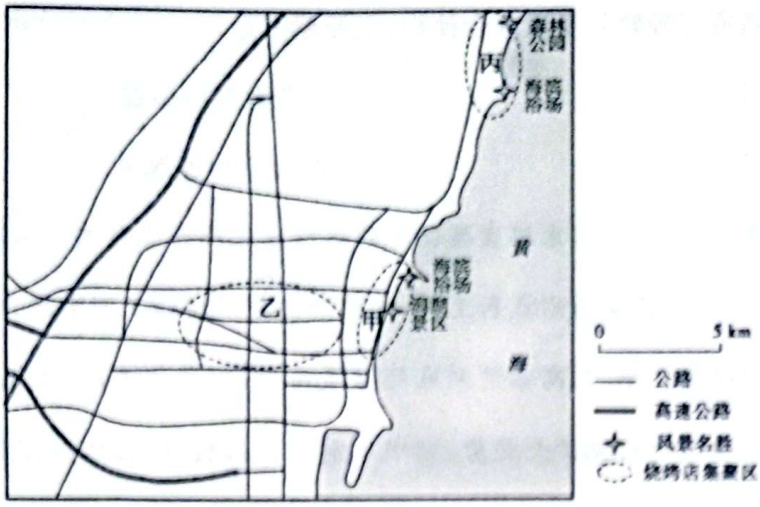
B. 提高兴山站到神农架站高铁票价

C. 加大神农架景区北部景点的开发

D. 提升神农架站设施服务接待能力

烧烤店体现人间烟火，在满足闲暇消费方面发挥了重要作用。山东省日照市为海滨旅游城市，海鲜烧烤为当地特色。研究表明，日照市烧烤店空间分布相对集中。甲区域曾经有众多烧烤店，近年来该区域烧烤店数量大幅减少。下图示意日照市烧烤店集聚区的位置。读图，完成 6～7 题。

扫描全能王
3亿人都在用的扫描App



6. 甲区域烧烤店数量减少，主要取决于

A. 客流规模　　B. 环境治理　　C. 原料供应　　D. 交通条件

7. 与乙区域相比，丙区域烧烤店分布更趋集中，主要因为丙区域

A. 客源市场单一　　B. 基础设施落后　　C. 土地租金更高　　D. 同行竞争较弱

土壤生物修复技术是采用植物及其他辅助材料来构筑各类边坡（山地斜坡、江河湖库堤岸、海岸坡岸等生态脆弱地区），实现稳定边坡的生物工程技术。下表示意三种土壤生物修复技术方式。读表，完成8～10题。

技术方式	修复手段
单枝扦插	直接扦插能够成活并生长根系的乔灌木枝干（如柳枝条等）。有广泛的适应性，经常与草笼和灌丛垫联合使用
捆栽	将枝条捆扎成一束，通常按等高线水平埋入，适用于地下水埋藏浅的边坡地区
层栽	植物枝条的结构是交互成层或成排形状，枝条组成篱笆状，既可按水平或垂直方向布置，也可按不同的角度插栽。通常与其他结构例如土工布、石笼、堆石等联合使用

8. 土壤生物修复技术选择的植物最需具有的特征是

①生根速度快　②植株体高大　③适应高寒的气候　④耐水性能强

A. ①③　　B. ②③　　C. ①④　　D. ②④

9. 捆栽方式最适宜应用在

A. 云贵高原　　B. 北方农牧交错带

C. 沙漠边缘　　D. 长江入海口潮间带

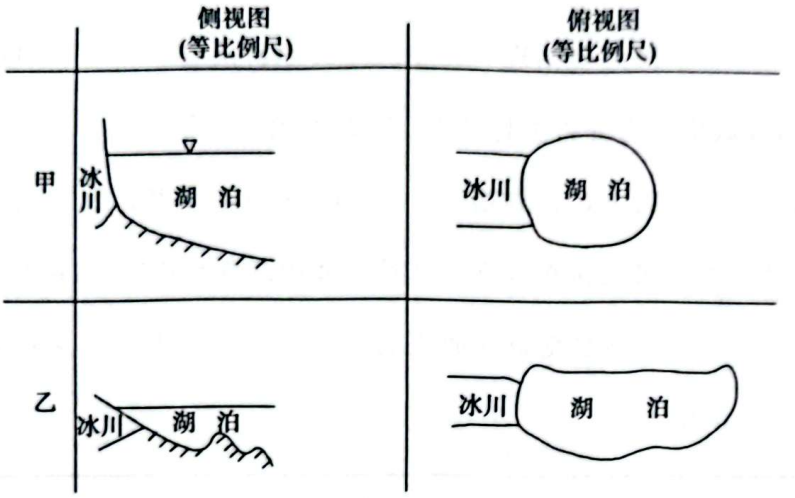
扫描全能王
3亿人都在用的扫描App

10. 在治理过程中，通常三种修复手段联合使用，主要原因是

A. 降低治理成本　　B. 获取经济效益

C. 简化治理方式　　D. 提高治理效果

按照与冰川位置关系，与冰川末端直接接触的冰川湖被称为冰前湖。冰川与冰前湖之间存在相互作用，冰川作用于冰前湖的形成和变化，冰前湖的扩张增强了湖水热力和动力作用，进一步加速了冰川的消融退缩。甲、乙两冰前湖地处青藏高原，距离相近，小气候相似，近年来随着气候变暖，甲、乙两冰前湖均出现扩大趋势，但甲冰前湖扩张较快，乙冰前湖扩张较慢。下图示意甲、乙两冰前湖的剖面结构。读图，完成 11～12 题。



11. 与甲冰前湖相比，乙冰前湖扩张速度较慢，与其关系较大的有

①湖泊与冰川接触面积小　②冰川前缘坡度更缓　③湖面面积更大　④湖泊底部起伏较大

A. ①②　　B. ①④　　C. ②③　　D. ③④

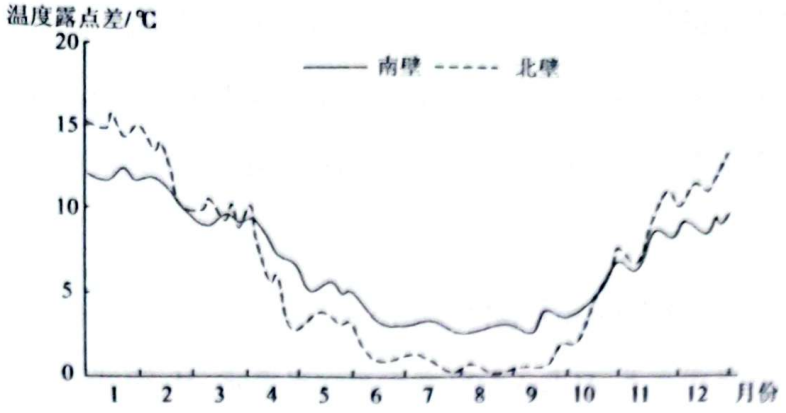
12. 乙冰前湖的形态在青藏高原更为常见，主要取决于

①冰川规模　②地形约束　③气候变化　④水文特征

A. ①②　　B. ①④　　C. ②③　　D. ③④

麦积山位于甘肃省东南部，山体西坡坡度小于东坡。麦积山石窟开凿在麦积山南侧的垂直崖体之上，大小窟龛距地 20～80 米，分布于崖体的东、西两侧。研究发现，麦积山石窟渗水病害主要集中在西崖的下部。露点是指空气中水汽达到饱和时的温度，温度露点差为温度与露点的差值，空气湿度大不利于石窟内壁画的保存。下图示意麦积山 127 号石窟内壁画表面温度露点差的时空分异。读图，完成 13～14 题。

扫描全能王
3亿人都在用的扫描App



13. 与崖体东侧相比，麦积山石窟西崖下部渗水严重的主要原因是

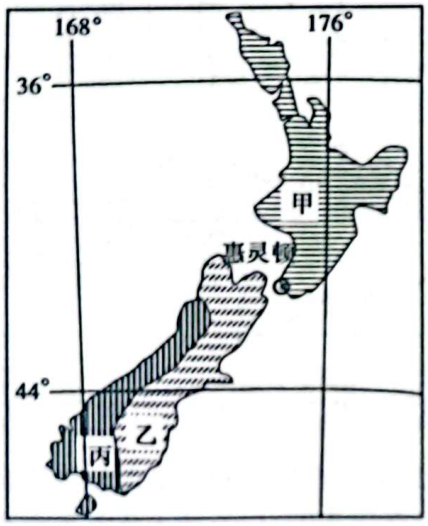
A. 下渗条件好　　B. 下切侵蚀强　　C. 水流速度快　　D. 降水量更大

14. 推测 127 号石窟的渗水病害主要发生在

A. 4～10 月　南壁　　B. 4～10 月　北壁

C. 10 至次年 4 月　南壁　　D. 10 至次年 4 月　北壁

新西兰位于太平洋西南部，主要由南北两个大岛及其附近一些小岛组成，属于温带海洋性气候，植被类型多样。下图示意新西兰植被类型的空间分布。读图，完成 15～16 题。



15. 甲、乙、丙植被类型分别为

A. 热带雨林　亚热带硬叶林　温带落叶阔叶林

B. 亚热带硬叶林　温带落叶阔叶林　温带草原

C. 亚热带硬叶林　温带草原　热带雨林

D. 亚热带常绿阔叶林　温带草原　温带落叶阔叶林

扫描全能王
3亿人都在用的扫描App

16. 乙植被群落的典型特征为

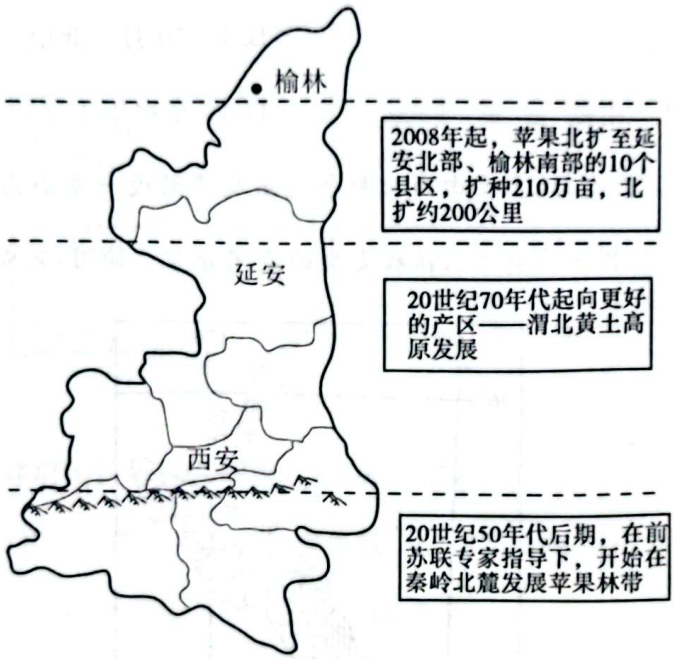
A. 无明显的季相变化　　B. 以低矮禾草类为主

C. 叶片存在有蜡质层　　D. 植株树冠郁闭度高

二、非选择题：共 52 分。

17. 阅读图文材料，完成下列要求。（18 分）

苹果属于一种温带水果，对气温和降水都有一定要求，从 20 世纪 50 年代开始，随着气候变化及农业发展，陕西苹果种植主区域由陕南至关中再至陕北“一路北上”，2008 年陕西省政府开始启动苹果的“北扩西移”工程，目前苹果种植已大部集中在陕北。下图示意陕西省苹果种植区北移过程。

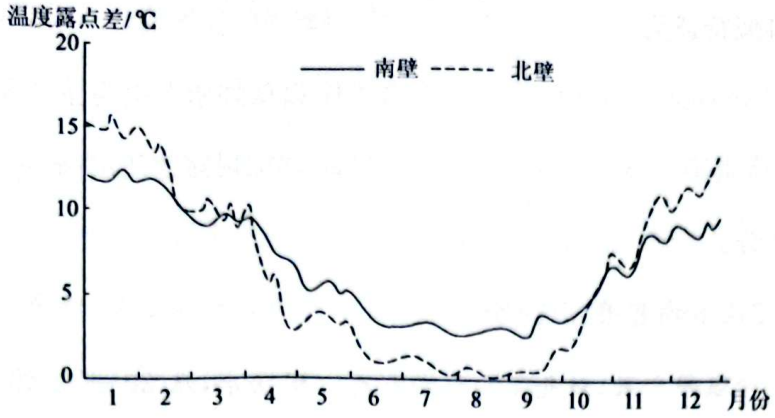


(1)指出陕西省苹果种植主区域得以“一路北上”的条件。（6 分）

(2)简述相较于秦岭北麓，渭北黄土高原更利于苹果种植的自然原因。（6 分）

(3)分析陕西省苹果种植“北扩西移”的好处。（6 分）

扫描全能王
3亿人都在用的扫描App



13. 与崖体东侧相比，麦积山石窟西崖下部渗水严重的主要原因是

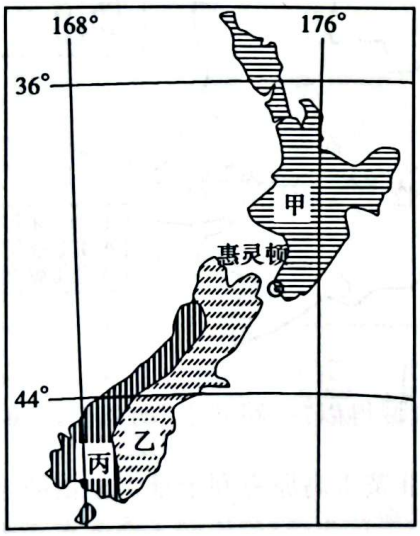
A. 下渗条件好　　B. 下切侵蚀强　　C. 水流速度快　　D. 降水量更大

14. 推测 127 号石窟的渗水病害主要发生在

A. 4～10 月　南壁　　B. 4～10 月　北壁

C. 10 至次年 4 月　南壁　　D. 10 至次年 4 月　北壁

新西兰位于太平洋西南部，主要由南北两个大岛及其附近一些小岛组成，属于温带海洋性气候，植被类型多样。下图示意新西兰植被类型的空间分布。读图，完成 15～16 题。



15. 甲、乙、丙植被类型分别为

A. 热带雨林　亚热带硬叶林　温带落叶阔叶林

B. 亚热带硬叶林　温带落叶阔叶林　温带草原

C. 亚热带硬叶林　温带草原　热带雨林

D. 亚热带常绿阔叶林　温带草原　温带落叶阔叶林

扫描全能王
3亿人都在用的扫描App

16. 乙植被群落的典型特征为

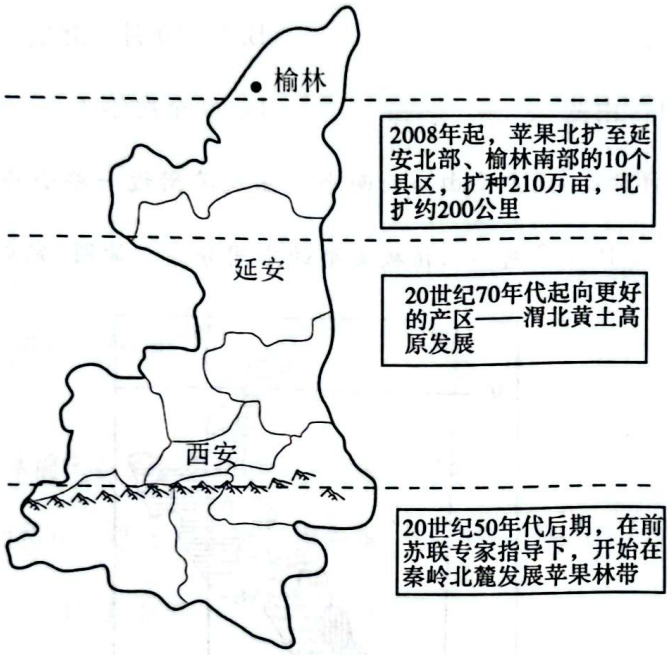
A. 无明显的季相变化　　B. 以低矮禾草类为主

C. 叶片存在有蜡质层　　D. 植株树冠郁闭度高

二、非选择题：共 52 分。

17. 阅读图文材料，完成下列要求。（18 分）

苹果属于一种温带水果，对气温和降水都有一定要求，从 20 世纪 50 年代开始，随着气候变化及农业发展，陕西苹果种植主区域由陕南至关中再至陕北“一路北上”，2008 年陕西省政府开始启动苹果的“北扩西移”工程，目前苹果种植已大部集中在陕北。下图示意陕西省苹果种植区北移过程。



(1)指出陕西省苹果种植主区域得以“一路北上”的条件。(6 分)

(2)简述相较于秦岭北麓，渭北黄土高原更利于苹果种植的自然原因。(6 分)

(3)分析陕西省苹果种植“北扩西移”的好处。(6 分)

扫描全能王
3亿人都在用的扫描App

18. 阅读图文材料，完成下列要求。（18 分）

新疆博尔塔拉河地处阿拉套山和别珍套山褶皱带所组成的谷地之间，是当地重要的农业灌溉水源，以温泉县和博乐市为界，划分成上游、中游和下游。温泉水文站实测多年平均径流量为 3.19×10^8 m^3，博乐水文站实测多年平均径流量为 4.99×10^8 m^3。受区域断陷、隆升等交叉构造的影响，博尔塔拉河地表水与地下水转换频繁。下面图 1 为博尔塔拉河流域示意图，图 2 为博尔塔拉河谷地部分地质纵剖面示意图。

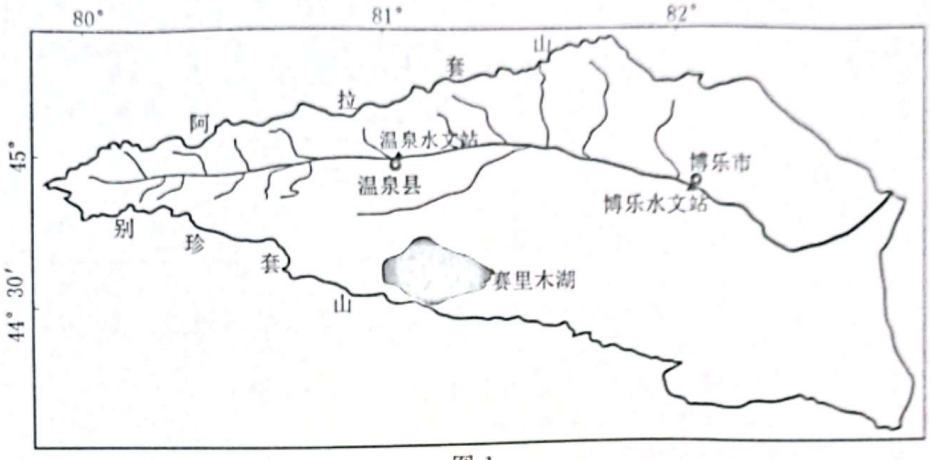


图 1

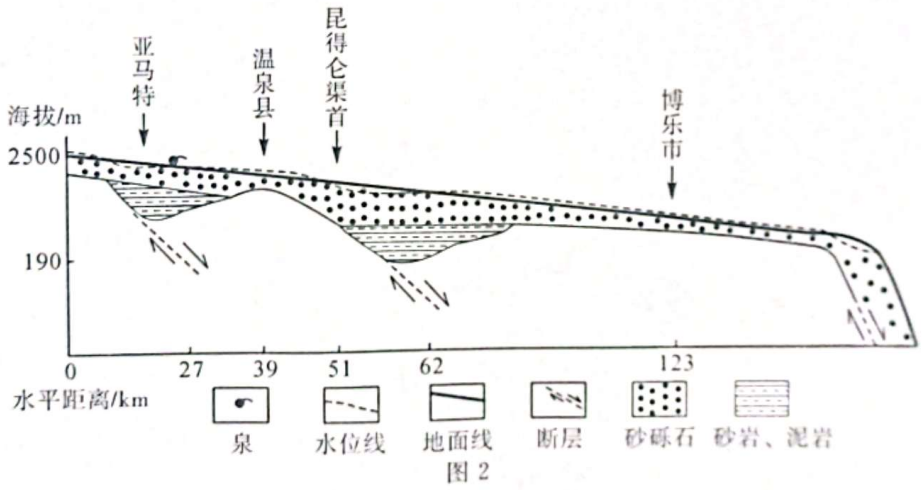


图 2

（1）博尔塔拉河在博乐段径流量明显大于温泉段，试说明原因。（6 分）

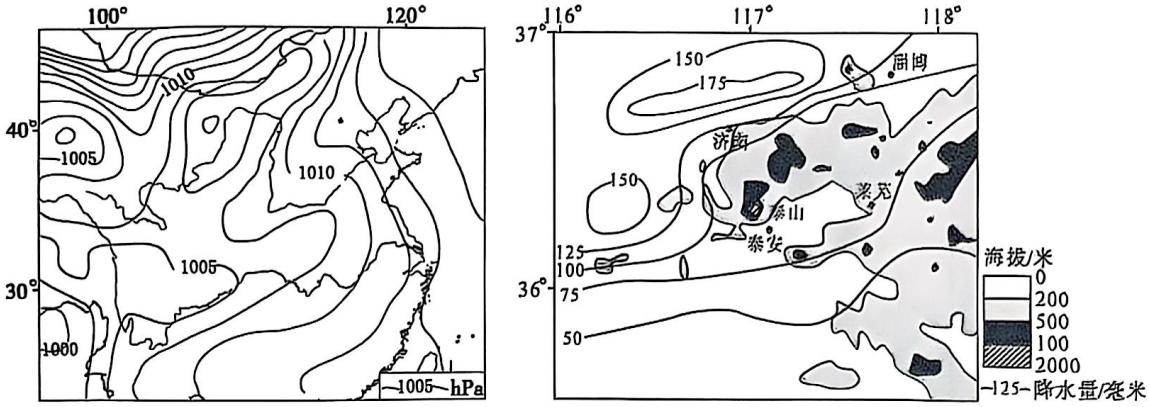
（2）依次指出从亚马特河段至博乐段地表水与地下水补给关系。（8 分）

（3）据图简述亚马特东侧泉水的形成过程。（4 分）

扫描全能王
3亿人都在用的扫描App

19. 阅读图文材料，完成下列要求。（16 分）

一般低压槽伸展方向为暖湿低空急流移动方向，高压脊伸展方向为冷空气移动方向。2022 年 10 月 1～2 日，山东中部泰山所在区域出现了一次强降水天气。下图示意 2022 年 10 月 1 日 20 时我国部分区域海平面等压线分布及泰山所在区域降水量空间分布。



（1）结合大气环流和地形，推测泰山所在区域此次强降水形成过程。（6 分）

（2）比较泰山南北两侧降水强度，并分析其形成原因。（6 分）

（3）指出泰山在此次强降水天气形成过程中的作用。（4 分）

扫描全能王
3 亿人都在用的扫描 App